

УДК 53.088

DOI: 10.14489/td.2016.08.pp.016-021

МЕТОДИЧЕСКИЕ И МЕТРОЛОГИЧЕСКИЕ АСПЕКТЫ ИЗМЕРЕНИЯ МЕХАНИЧЕСКИХ СВОЙСТВ МАТЕРИАЛОВ МЕТОДОМ ИНСТРУМЕНТАЛЬНОГО ИНДЕНТИРОВАНИЯ



А. И. Потапов,
д-р техн. наук, проф.
Национальный
минерально-сырьевой
университет «Горный»,
Санкт-Петербург, Россия.
E-mail: apot@mail.ru



К. В. Гоголинский,
д-р техн. наук,
ВНИИМ им. Д. И. Менделеева,
Санкт-Петербург, Россия



В. А. Сясько,
д-р техн. наук,
ООО «Константа»,
Санкт-Петербург, Россия



А. С. Уманский,
Национальный минерально-
сырьевой университет
«Горный», Санкт-Петербург,
Россия



А. В. Кондратьев,
Национальный минерально-
сырьевой университет
«Горный», Санкт-Петербург,
Россия



Статья поступила в редакцию 10.05.2016

Received 10.05.2016

Измерение и контроль механических свойств на масштабе от десятков микрометров до единиц нанометров представляют серьезную научно-техническую проблему. В настоящее время решение этих задач переходит из области научных исследований в сферу технологических применений.

Наибольшее развитие в этом направлении получил метод инструментального индентирования [1, 2]. В 2012 г. в РФ принят стандарт на метод измерения [3], а в 2015 г. утвержден Государственный первичный эталон твердости по шкалам Мартенса и шкалам индентирования (ГЭТ 211–2014).

В 2015 г. была выпущена новая редакция стандарта ISO [4 – 7], в которой значительно расширены указания и рекомендации к реализации метода, учету мешающих параметров, устранению погрешностей и методикам калибровки установок.

Особенности метода инструментального индентирования

В основе метода лежит непрерывное измерение нагрузки и перемещения индентора в процессе индентирования (рис. 1) и построение зависимости приложенной нагрузки от внедрения – «диаграммы нагружения» (рис. 2).

Основными величинами, измеряемыми методом инструментального индентирования, являются модуль упругости E , твердость по Мартенсу НМ и твердость индентирования H_{IT} , ГПа [4].

Приведенный модуль E_r вычисляется из диаграммы нагрузка-внедрение по формуле

$$E_r = \frac{1}{\beta} \frac{\sqrt{\pi}}{2} \frac{S}{\sqrt{A_p(h_c)}}, \quad (1)$$

где S – тангенс угла наклона касательной к кривой разгрузения; $A_p(h_c)$ – контактная площадь, определяемая из функции формы индентора $A_p(h)$ на глубине h_c , вычисляемой из соотношений:

$$h_c = h_{max} - \varepsilon \left(\frac{P_{max}}{S} \right); \quad (2)$$

$$h_c = h_{max} - \varepsilon(h_{max} - h_i), \quad (2a)$$

где h_{max} – максимальная глубина внедрения; h_i – точка пересечения касательной к кривой разгрузения с осью h ; P_{max} – максимальная нагрузка; ε – коэффициент функции формы индентора.

Модуль упругости материала E вычисляется из соотношения

$$\frac{1}{E_r} = \frac{(1-\nu^2)}{E} + \frac{(1-\nu_i^2)}{E_i}, \quad (3)$$

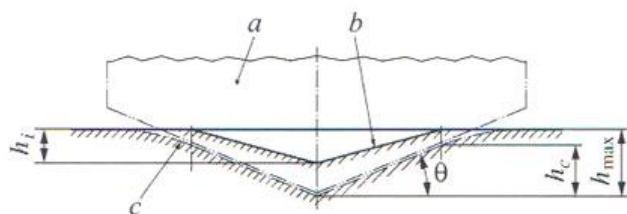


Рис. 1. Схематическое изображение процесса индентирования:

a – индентор; b – поверхность отпечатка в испытуемом образце после полной разгрузки; c – поверхность контакта испытуемого образца с индентором при максимальной глубине и нагрузке; θ – максимальный угол между поверхностями испытуемого образца и индентора

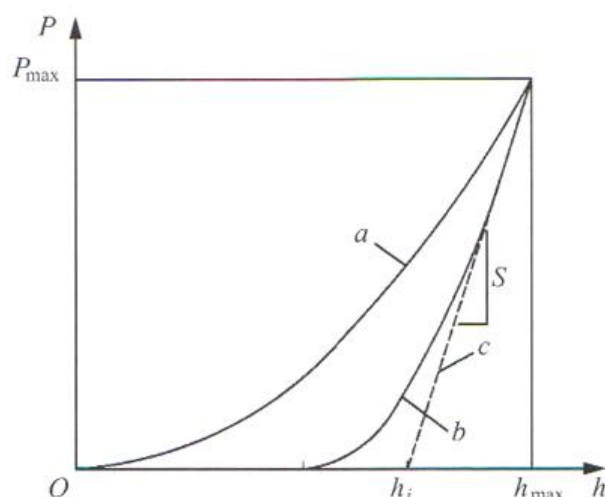


Рис. 2. Общий вид диаграммы нагрузка–внедрение:
 a – нагружение; b – разгрузение; c – касательная к кривой разгрузения в точке максимальной нагрузки P_{max} ; h_{max} – глубина внедрения при максимальной нагрузке; h_i – точка пересечения касательной к кривой разгрузения с осью h ; S – тангенс наклона угла касательной к кривой разгрузения

где E_i , ν_i – модуль Юнга и коэффициент Пуассона индентора; v – коэффициент Пуассона материала испытуемого образца, которые полагаются известными.

Твердость индентирования рассчитывается по формуле

$$H_{IT} = \frac{P_{max}}{A_p(h_c)}, \quad (4)$$

где P_{max} – максимальная нагрузка, прикладываемая к индентору; $A_p(h_c)$ – площадь проекции контактирующей части наконечника; h_c – глубина внедрения в образец с учетом прогиба исходной поверхности (2).

В дальнейшем при рассмотрении источников неопределенности речь пойдет о твердости индентирования H_{IT} как наиболее часто используемой в научной литературе и близкой к определению твердости по Виккерсу [4].

Также методом инструментального индентирования могут быть измерены ползучесть материала под нагрузкой от времени, коэффициент упругого восстановления, энергия деформации, полная энергия индентирования и т.д.

Основные источники неопределенности результатов измерений методом инструментального индентирования

Рассмотрим основные источники неопределенности результатов измерений методом инструментального индентирования, общие для величин E и H_{IT} .

Аппаратные источники неопределенности

Калибровка датчиков силы и перемещения.

В большинстве датчиков нанотвердомеров измерение силы, прикладываемой к индентору, и перемещения индентора взаимосвязаны. Калибровка датчиков силы и перемещения влияет на корректное определение h_c , расчет прикладываемой силы и неопределенность, вносимую жесткостью контакта.

Податливость рамы. Несущая конструкция (рама) имеет конечную жесткость, определяемую суммарной деформацией конструкции прибора приложении нагрузки к индентору. Податливость рамы является одним из наиболее значимых источников неопределенности измерений. Для корректного расчета глубины внедрения и контактной площади при измерении твердости значение податливости необходимо учитывать при расчете перемещения индентора (Annex C, [4]).

Способ закрепления исследуемого образца. Если жесткость конструкции может быть измерена и учтена заранее с заданной точностью, то закрепление образца может давать в каждом конкретном случае непредсказуемый вклад в неопределенность результата измерений. Для уменьшения неопределенности результата измерений следует обеспечивать перпендикулярность установки образца относительно оси прикладываемой силы с максимальным отклонением не более 1° .

Функция формы индентора. Для вычисления модуля упругости E и твердости индентирования H_{IT} функция формы $A_p(h)$ определена как зависимость площади сечения индентора, перпендикулярного к его оси, от расстояния до вершины индентора [1, 2]. Как правило, в методе инструментального индентирования используются алмазные 3-гранные пирамиды Берковича или (реже) 4-гранные Виккерса, а также пирамиды «угол куба». Идеальные функции формы таких инденторов представляют собой квадратичные зависимости от расстояния до вершины h . Однако при уменьшении расстояния от вершины до единиц микрометров форма инденторов начинает отклоняться от идеальной, а непосредственно к вершине вообще приближается к сферической. Характерный радиус закругления вершины инденторов, заявляемый производителем, варьируется в пределах 50...150 нм (рис. 3).

Наиболее распространенный метод определения функции формы, не требующий получения изображения индентора или его отпечатков, заключается в проведении серии измерений по методу наноиндентирования на эталонном материале (Annex C, [4]). Для реализации данного подхода важно точно знать модули упругости и коэффициенты Пуассона, а также твердость эталонного мате-

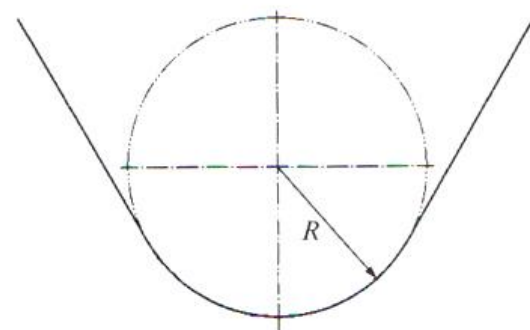


Рис. 3. Схематическое изображение вершины индентора: R – радиус скругления индентора

риала и индентора. Кроме того, должно выполняться требование изотропии, а также отсутствия зависимости твердости по глубине. Площадь проекции индентора A_p определяют по формуле

$$A_p(h_c) = \frac{\pi S^2}{4E^2}. \quad (5)$$

Таким образом, для одного измерения при определенной нагрузке получается точка на кривой $A_p(h)$. Если сделать серию таких измерений с разными нагрузками, получится экспериментальный набор точек $[h_i, A_i]$ для некоторого интервала контактной глубины внедрения индентора. Полученный набор точек описывается функцией, полученной различными методами аппроксимации.

Функция формы индентора $A_p(h)$ используется при расчете твердости H_{IT} и модуля упругости E . Для корректного учета скругления наконечника индентора важно верно определить $A_p(h)$ для уменьшения неопределенности результатов измерений на малых глубинах индентирования.

Методические составляющие неопределенности результатов измерений

На суммарную неопределенность результатов измерений влияют следующие особенности методики измерений: погрешность нахождения точки начального контакта индентора с поверхностью, от которой зависит значение максимальной глубины внедрения; влияние неидеальности формы индентора. Решения Снеддона [8, 9] верны для осесимметричных инденторов. В связи с этим для инденторов, у которых это требование не выполняется, был введен поправочный коэффициент β в формуле (1). Значение этого коэффициента у разных авторов варьируется в широких пределах: $1,0226 \leq \beta \leq 1,085$ [2].

На результат расчета параметров диаграммы нагрузка–внедрение влияет изменение коэффициента функции формы индентора ε , используемого для расчета контактной глубины h_c по формуле (2).

Влияние коэффициента функции формы ε на отклонение расчетных значений h_c

Материал	E , ГПа	H , ГПа	E/H	h_{\max}/h_c		$\frac{h_c(\varepsilon=1)}{h_c(\varepsilon=0,75)}$	$\varepsilon, \%$
				$\Delta = 1$	$\varepsilon = 0,72$		
Поликарбонат	2,3	1,1	2,1	3,1	2,5	0,81	19
Плавленый кварц	72	8,5	8,5	1,52	1,37	0,9	10
Сапфир	400	22	18	1,24	1,17	0,95	5
Сталь 40Х	210	4	52,5	1,083	1,06	0,978	2,2
Сталь 20	200	2	100	1,044	1,032	0,988	1,2
Титан ВТ-1	110	1	110	1,04	1,029	0,989	1,1

Эта величина связана с геометрией индентора. Ее значение вытекает из уравнений Снеддона и меняется от 1 для плоского индентора до 0,72 для конуса. Ниже приведена оценка неопределенности расчета контактной глубины, вносимой изменением коэффициента функции формы индентора вследствие отклонения геометрии индентора от идеальной.

Из анализа формул (2) и (2а), а также общего вида диаграммы нагрузка-внедрение можно сделать вывод, что поправка контактной глубины влияет тем больше, чем меньше измеряемая жесткость S контакта и максимальная глубина внедрения h_{\max} . Соотношение этих параметров связано непосредственно с отношением твердости H и модуля упругости E .

Формулу (2) перепишем с учетом выражения (1):

$$h_c = h_{\max} - \varepsilon \frac{P_{\max} \sqrt{\pi}}{2E_r \sqrt{A_p}}. \quad (6)$$

С учетом выражения для твердости $H_{\text{ИГ}}$ (4) перепишем это выражение в виде

$$h_c = h_{\max} - \varepsilon \frac{H}{E_r} \frac{\sqrt{\pi} \sqrt{A_p}}{2}. \quad (7)$$

Для идеальной правильной пирамиды $A_p = kh_c^2$, тогда

$$\frac{h_{\max}}{h_c} = 1 + \varepsilon \frac{H}{E_r} \frac{\sqrt{\pi k}}{2}. \quad (8)$$

В таблице представлены оценки относительных изменений расчетного значения h_c при постоянном h_{\max} в зависимости от значения для разных материалов при изменении ε от 1 до 0,72. Коэффициент k равен 24,5, что соответствует модифицированному индентору Берковича. Значения E и H разных материалов взяты на основе справочных данных из различных источников. Для приведенной оценки разницей между значениями E_r и E можно пренебречь.

Таким образом, чем меньше для материала соотношение E/H , тем больше погрешность при расчете величины h_c , связанная с неидеальностью формы индентора при вершине.

Поликарбонат, сапфир и плавленый кварц, как правило, используются в качестве стандартных образцов при косвенном определении функции формы индентора, оговоренной в стандартах. Таким образом, уже при выполнении данной процедуры на плавленом кварце при глубинах внедрения ~100 нм только методическая составляющая неопределенности расчета контактной глубины может достигать 10 %, а площади контакта – 20 %.

Влияние физико-механических свойств исследуемых объектов и внешних факторов

Свойства любого материала на поверхности отличаются от свойств в объеме. Этот факт необходимо учитывать, устанавливая корреляцию между макроскопическими свойствами объекта и результатами наноиндентирования. Отличия могут быть связаны как с природой вещества, так и с загрязнением или модификацией поверхности в результате адсорбции различных веществ из окружающего воздуха, химической реакции (например, окисления), нарушения исходной структуры вещества вследствие обработки.

Анизотропия свойств. При расчете значений твердости и модуля упругости из диаграммы нагрузка-внедрение по стандартному методу (Оливера и Фара) необходимо помнить, что все расчетные формулы выведены из решений упругой задачи для взаимодействия индентора с однородным изотропным полупространством. Вследствие этого стандартный метод расчета применительно к анизотропным и сложноструктурированным материалам может давать приблизительные абсолютные значения. Это необходимо учитывать при сравнении результатов измерения, например, монокристаллов и поликристаллических структур, различных мелкодисперсных материалов.

Особенности упругопластической деформации обусловлены поведением исследуемого материала при деформациях различного вида, возникающих в процессе внедрения индентора в поверхность при механических испытаниях. Многие материалы при внедрении в них твердого наконечника образуют навалы (pile-ups) по периметру отпечатка. В частности, большими навалами характеризуются многие металлы, моно- и поликристаллические материалы. Для других материалов, напротив, при нагружении поверхность вокруг области контакта упруго прогибается (sink-in). Эти особенности упругопластического отклика материала влияют на реальную площадь контакта индентора с поверхностью, которая может отличаться от расчетной [10].

Шероховатость поверхности неизбежно оказывается на фактической площади контакта индентора с поверхностью. Для ограничения вклада шероховатости поверхности в неопределенность результата измерения (не более 5 %) рекомендовано обеспечивать глубину индентирования минимум в 20 раз больше средней арифметической шероховатости R_a (Annex E, [4]).

Термодрейф, возникающий из-за изменения размеров элементов конструкции прибора вследствие теплового расширения, необходимо учитывать при проведении измерений на микро- и нанометровых масштабах. Измерения желательно проводить в изолированном помещении с постоянной температурой ($23 \pm 5^\circ\text{C}$) и влажностью ($45 \pm 10\%$). Необходимо также иметь в виду необходимость термической стабилизации образцов после их установки (пункт 7, [4]).

Вибрации приводят к появлению шума и искажению диаграммы нагрузка-внедрение, что в свою очередь оказывается на определении точки контакта, аппроксимации разгрузочной кривой и т.п.

Переход от мер твердости к стандартным образцам свойств

В соответствии с указанным подготовка нанотвердомера к измерениям по методу инструментального индентирования требует осуществления следующих процедур: калибровки измерительных преобразователей (силы и перемещения); определения параметров элементов прибора (функции формы индентора, жесткости рамы и пр.); оптимизации алгоритмов обработки диаграммы нагрузка-внедрение (определение точки касания, аппроксимация кривой разгрузки); устранения влияния внешних факторов; тщательной подготовки образцов.

Но даже при выполнении этих условий затруднительно получить удовлетворительные результаты измерений при глубинах индентирования менее 1 мкм. Это связано с суммарным влиянием большого количества независимых источников неопределен-

ности. Некоторые из них можно уменьшить совершенствованием аппаратных средств, однако некоторые неустранимы в рамках существующих моделей и методов измерений и могут приводить к значительной инструментальной погрешности и, как следствие, неустранимой неопределенности по типу В.

Основной вклад в эту неопределенность дает функция формы индентора и связанный с ней коэффициент, характеризующий соотношение упругой и пластической деформации ε , а также коэффициент β , характеризующий асимметрию индентора. На практике окончательную верификацию параметров измерительной установки следует проводить путем измерения образцов материалов с известными свойствами. Чаще всего это плавленый кварц: аморфный однородный материал с модулем упругости $E = 72 \pm 2$ ГПа и твердостью $H = 9 \pm 0,5$ ГПа. Кроме него используют также монокристалл сапфира (Al_2O_3 , грань, перпендикулярная оси С) и поликарбонат. По этим материалам проводят определение функции формы индентора, поправочные коэффициенты β и ε , податливость рамы. Процедура верификации сводится к расчету параметров таким образом, чтобы результат измерений соответствовал приписанным значениям свойств этих материалов (твердости и модуля упругости) на разных нагрузках и глубинах индентирования.

Таким образом, перечисленные образцы являются не просто мерами величин, значения которых приписаны им в результате калибровки в рамках принятой поверочной схемы, а являются, по сути, стандартными образцами этих свойств в соответствии с определением [11] в силу своего химического состава и структуры. Эти свойства могут быть обеспечены технологически при производстве и измерены независимым способом. Аргументация, подтверждающая возможность перехода от мер твердости к стандартным образцам, изложена в [12].

Такой подход противоречит сложившейся практике в области измерений твердости, при которой прослеживаемость измерений обеспечивается к эталону-установке, реализующему шкалу твердости с высшей точностью. Однако именно он реализуется в настоящее время на практике при измерениях механических свойств на нанометровых масштабах (пункт 8, [4]). Развитием этого подхода могло бы быть расширение линейки подобных стандартных образцов для разных классов материалов (металлов, пластиков, твердых кристаллов и т.п.).

В целом переход в метрологическом обеспечении метода инструментального индентирования от мер твердости к стандартным образцам механических свойств позволит существенно уменьшить влияние приборных и методических погрешностей, повысить достоверность и уменьшить неопределенность результатов измерений.

Библиографический список

1. Oliver W. C., Pharr G. M. An improved technique for determining hardness and elastic modulus using load and displacement sensing indentation experiments // *J. Mater. Res.*. 1992. V. 7. N 6.
2. Oliver W. C., Pharr G. M. Measurement of hardness and elastic modulus by instrumented indentation: Advances in understanding and refinements to technology // *J. Mater. Res.*. 2004. V. 19. N 1. P. 3 – 20.
3. ГОСТ Р 8.748–2011 (ISO 14577-1:2002) ГСИ. Металлы и сплавы. Измерение твердости и других характеристик материалов при инструментальном индентировании. Часть 1. Метод испытаний. М., 2011.
4. ISO 14577-1:2015. Metallic materials. Instrumented indentation test for hardness and materials parameters. Part 1. Test method, 2015.
5. ISO 14577-2:2015. Metallic materials. Instrumented indentation test for hardness and materials parameters. Part 2. Verification and calibration of testing machines, 2015.
6. ISO 14577-3:2015. Metallic materials. Instrumented indentation test for hardness and materials parameters. Part 3. Calibration of reference blocks, 2015.
7. ISO 14577-4:2015. Metallic materials. Instrumented indentation test for hardness and materials parameters. Part 4. Test method for metallic and non-metallic coatings, 2015.
8. Sneddon I. N. The relaxation between load and penetration in the axisymmetric Boussinesq problem for a punch of arbitrary profile Int. // *J. Engng. Sci.* 1965. N 3. P. 47 – 57.
9. Harding J. W., Sneddon I. N. The elastic stresses produced by the indentation of the plane of a semi-infinite elastic solid // *Proc. Cambridge Philos. Soc.* 1945. N 41. P. 16 – 26.
10. Усенинов С. С., Соловьев В. В., Гоголинский К. В. и др. Особенности применения метода наноиндентирования для измерения твердости на наномасштабе // Нанотехника. 2008. № 1(13). С. 111 – 115.
11. РМГ 29–2013 ГСИ. Метрология. Основные термины и определения. М., 2013.
12. Гоголинский К. В., Решетов В. Н., Усенинов А. С. Об унификации определения твердости и возможности перехода при ее измерении к размерным величинам // Измерительная техника. 2011. № 7. С. 28.

References

1. Oliver W. C., Pharr G. M. (1992). An improved technique for determining hardness and elastic modulus using load and displacement sensing indentation experiments. *J. Mater. Res.*, 7(6). doi: 10.1557/JMR.1992.1564
2. Oliver W. C., Pharr G. M. (2004). Measurement of hardness and elastic modulus by instrumented indentation: advances in understanding and refinements to technology. *J. Mater. Res.*, 19(1), pp. 3 – 20. doi: 10.1557/jmr.2004.19.1.3
3. Metals and alloys. Measurement of hardness and other properties of materials at the tool indentation. Part 1: Test method. (2011). *Ru Standard No. GOST R 8.748–2011 (ISO 14577-1:2002)*. Russian Federation. Moscow. [in Russian language]
4. Metallic materials. Instrumented indentation test for hardness and materials parameters. Part 1. Test method. (2015). *International Standard No. ISO 14577-1:2015*.
5. Metallic materials. Instrumented indentation test for hardness and materials parameters. Part 2. Verification and calibration of testing machines. (2015). *International standard No. ISO 14577-2:2015*.
6. Metallic materials. Instrumented indentation test for hardness and materials parameters. Part 3. Calibration of reference blocks. (2015). *International Standard No. ISO 14577-3:2015*.
7. Metallic materials. Instrumented indentation test for hardness and materials parameters. Part 4. Test method for metallic and non-metallic coatings. (2015). *International Standard No. ISO 14577-4:2015*.
8. Sneddon I. N. (1965). The relaxation between load and penetration in the axisymmetric Boussinesq problem for a punch of arbitrary profile. *Int. J. Engng. Sci.*, (3), pp. 47-57.
9. Harding J. W., Sneddon I. N. (1945). The elastic stresses produced by the indentation of the plane of a semi-infinite elastic solid. *Proc. Cambridge Philos. Soc.*, (41), pp. 16-26.
10. Useinov S. S., Solov'ev V. V., Gogolinskii K. V. et al. (2008). Features of nanoindentation method for measuring the hardness at the nanoscale. *Nanotekhnika*, 13(1), pp. 111-115.
11. Metrology. Basic terms and definitions. (2014). *State system for ensuring the uniformity of measurements No. RMG 29-2013 GSI*. Moscow: Standartinform. [in Russian language]
12. Gogolinskii K. V., Reshetov V. N., Useinov A. S. (2011). Unification of hardness and the possibility of transition when measured to dimensional quantities. *Izmeritel'naya tekhnika*, (7), p. 28. [in Russian language]